Zeitschrift: Schweizerische Bauzeitung
Herausgeber: Verlags-AG der akademischen technischen Vereine
Band: 91/92 (1928)
Heft: 4

Inhaltsverzeichnis

Nutzungsbedingungen
Die ETH-Bibliothek ist die Anbieterin der digitalisierten Zeitschriften auf E-Periodica. Sie besitzt keine Urheberrechte an den Zeitschriften und ist nicht verantwortlich für deren Inhalte. Die Rechte liegen in der Regel bei den Herausgebern beziehungsweise den externen Rechteinhabern. Das Veröffentlichen von Bildern in Print- und Online-Publikationen sowie auf Social Media-Kanälen oder Webseiten ist nur mit vorheriger Genehmigung der Rechteinhaber erlaubt. Mehr erfahren

Conditions d'utilisation
L'ETH Library est le fournisseur des revues numérisées. Elle ne détient aucun droit d'auteur sur les revues et n'est pas responsable de leur contenu. En règle générale, les droits sont détenus par les éditeurs ou les détenteurs de droits externes. La reproduction d'images dans des publications imprimées ou en ligne ainsi que sur des canaux de médias sociaux ou des sites web n'est autorisée qu'avec l'accord préalable des détenteurs des droits. En savoir plus

Terms of use
The ETH Library is the provider of the digitised journals. It does not own any copyrights to the journals and is not responsible for their content. The rights usually lie with the publishers or the external rights holders. Publishing images in print and online publications, as well as on social media channels or websites, is only permitted with the prior consent of the rights holders. Find out more

Download PDF: 20.02.2026

ETH-Bibliothek Zürich, E-Periodica, https://www.e-periodica.ch

INHALT: Ueber die Eigenfrequenzen elastischer Körper. — Die „Musterhäuser" an der Wasserwerkstrasse, Zürich, Ausstellung „Das Neue Heim", 1928 (mit Tafeln 1 bis 4). — Internationale Vereinigung des neuen Bauens. — † Prof. Dr. phil. h. c. Dr. Ing. e. h. Albert Fliegner. — Rheinkorrektion oberhalb des Bodensees und die Wildbachverbauungen in Graubünden. II. Internationale Tagung für Brücken- und Hochbau Wien 1928. — Wirtschaftliche Fortbildungskurse der E. T. H. — Wettbewerbe: Nidwaldner Kantonalbank in Stans. — Mitteilungen: Zu den Architektur-Diplom-Arbeiten der E. T. H. Ueber Fortschritte in der Ausführung neuzeitlicher Holzkonstruktionen. Maschinelles Brennschneiden. Die „Opera Bonomelli". Pont de la Caille. Ausfuhr elektrischer Energie. 25 Jahre B. D. A. 20 Jahre B. S. A. Die Rheinschiffahrt bis Basel. Die Kunze-Knorr-Güterzugbremse in Holland. — Literatur. — Mitteilungen der Vereine: Gesellschaft ehemaliger Studierender. S. T. S.

Band 92. Nachdruck von Text oder Abbildungen ist nur mit Zustimmung der Redaktion und nur mit genauer Quellenangabe gestattet. **Nr. 4**

Ueber die Eigenfrequenzen elastischer Körper.

Von Ingenieur F. KITO, Nagoya (Japan).

In Heft 1 von Band 87 der S. B. Z. (2. Januar 1926) hat Herr Prof. Dr. E. Hahn unter dem Titel „Détermination des fréq ıences critiques d'une pièce élastique" eine Methode zur Bestimmung der kritischen Eigenschwingungen elastischer Körper bekannt gegeben. Der vorliegende Artikel soll die Nützlichkeit dieser Methode in ihrer Anwendung auf die Bestimmung der Eigenschwingungen von Rahmenwerken zeigen.

Obgleich die Abhandlung von Prof. Hahn an sich ein Ganzes ist, müssen wir doch die dort entwickelten Resultate für unsern bestimmten Zweck etwas umformen.

Betrachten wir einen elastischen Körper, der aus gebogenen oder geraden Stäben besteht. Von einem passend gewählten Ausgangspunkt können wir die Lage eines jeglichen Massenelementes durch eine einzige veränderliche s bezeichnen. Nehmen wir an, jeder Massenpunkt s sei durch die beiden den Koordinatenaxen parallelen Kräfte X und Y beansprucht (Abbildung 1); diese Kräfte verursachen in jedem Punkt t die Ablenkungen

$$\delta_x = \alpha_{st} X + \beta_{st} Y \quad . \quad . \quad . \quad . \quad . \quad (1)$$
$$\delta_y = \gamma_{st} X + \delta_{st} Y \quad . \quad . \quad . \quad . \quad . \quad (2)$$

Daher werden unter dem Einfluss von verteilten Kräften dX_s und dY_s Deformationen entstehen, die im Punkte t, nach den Richtungen x und y, folgende Werte annehmen werden:

$$x_t = \int_0^l \alpha_{st}\, d X_s + \beta_{st}\, d Y_s \quad . \quad . \quad . \quad . \quad (3)$$

$$y_t = \int_0^l \gamma_{st}\, d X_s + \delta_{st}\, d Y_s \quad . \quad . \quad . \quad . \quad (4)$$

Nehmen wir an, das System führe Schwingungen aus, nach dem Gesetze

$$x_s = X_s \cos \lambda T \quad . \quad . \quad . \quad . \quad . \quad . \quad . \quad (5)$$
$$y_s = Y_s \cos \lambda T \quad . \quad . \quad . \quad . \quad . \quad . \quad . \quad (6)$$

Dieser Schwingung entsprechen Beschleunigungen im Betrage von:

$$x_s'' = - X_s \lambda^2 \cos \lambda T = - \lambda^2 x_s \quad . \quad . \quad . \quad (7)$$
$$y_s'' = - Y_s \lambda^2 \cos \lambda T = - \lambda^2 y_s \quad . \quad . \quad . \quad (8)$$

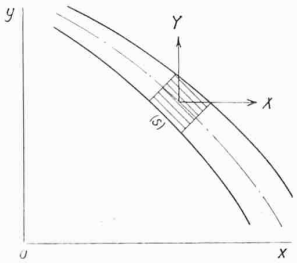

Abb. 1.

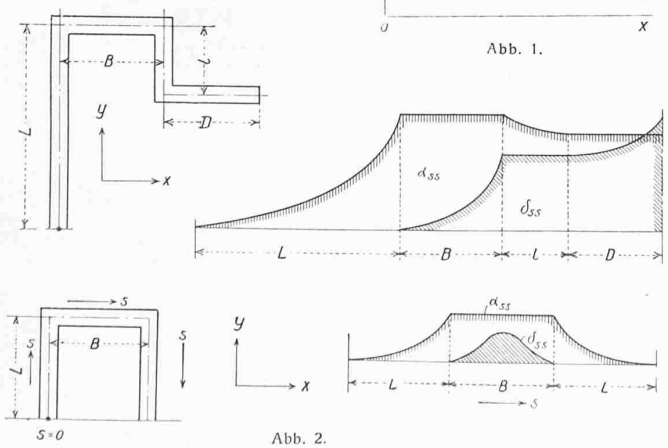

Abb. 2.

Ist die betrachtete Schwingung eine natürliche, so reduzieren sich dX_s und dY_s auf die Trägheitskraft:

$$d X_s = - m \lambda^2 x_s\, ds \quad . \quad . \quad . \quad . \quad . \quad (9)$$
$$d Y_s = - m \lambda^2 y_s\, ds \quad . \quad . \quad . \quad . \quad . \quad (10)$$

Durch Einsetzung dieser Werte in (3) und (4) ergibt sich:

$$x_t = - \int_0^l \lambda^2 m \left[\alpha_{st} x_s + \beta_{st} y_s\right] ds \quad . \quad . \quad (11)$$

$$y_t = - \int_0^l \lambda^2 m \left[\gamma_{st} x_s + \delta_{st} y_s\right] ds \quad . \quad . \quad (12)$$

Das sind simultane lineare Integral-Gleichungen. Somit haben wir, wie in Prof. Hahn's Aufsatz, für die Eigenschwingungen erster Ordnung die Gleichung

$$\lambda^2 = \frac{1}{\int_0^l \left[\alpha_{ss} + \delta_{ss}\right] m\, ds} \quad . \quad . \quad . \quad . \quad . \quad (13)$$

Die Bedeutung der Grössen α_{ss} und δ_{ss} ist offensichtlich; somit können wir durch eine einfache Quadratur die Eigenschwingungen erster Ordnung berechnen. Die folgenden Abbildungen beziehen sich auf vier Beispiele, die die Anwendung der Formeln auf praktische Fälle erläutern sollen. Im Falle der Abb. 2 sind δ_{ss} und α^{ss} verhältnis mässig klein, sodass der entsprechende Wert von λ verhältnismässig gross sein würde. Im Falle der Abb. 3 sind α_{ss} und δ_{ss} gross wie für Abb. 2. Im dritten Beispiel (Abb. 4) ergibt der Stab D einen ziemlich grossen Betrag zum Integral in Gl. (13). Somit wird der Wert von λ kleiner werden. Im Falle der Abb. 5 würde der von L herrührende Anteil viel grösser sein als die der übrigen Stäbe, sodass die Schwingungsfrequenz nur wenig von der eines Kragträgers der Länge L verschieden wäre.

Im folgenden soll die obige Methode auf ein beliebiges statisch unbestimmtes System angewendet werden, wobei wir die von W. Kaufmann gewählten Bezeichnungen benützen[1]). Das Biegungsmoment in irgend einem Punkt lässt sich in der Form bringen:

$$M = M_0 + M_a X_a + M_b X_b + \ldots + M_n X_n \quad . \quad . \quad (14)$$

worin X_a, X_b ... X_n statisch unbestimmte Grössen sind. M_0 bedeutet das von den äussern Kräften herrührende Biegungsmoment, M_a das Biegungsmoment für $X_a = 1$, usw.

[1]) W. Kaufmann, „Statik". Verlag Julius Springer. S. 198.

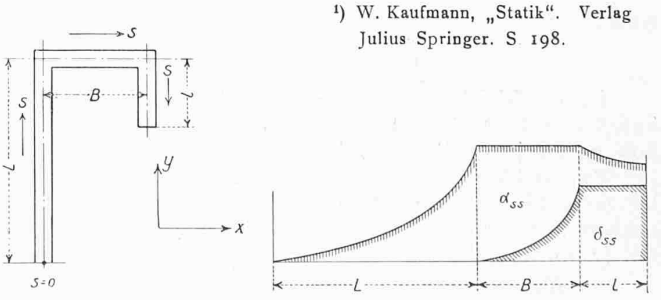

Abb. 4.

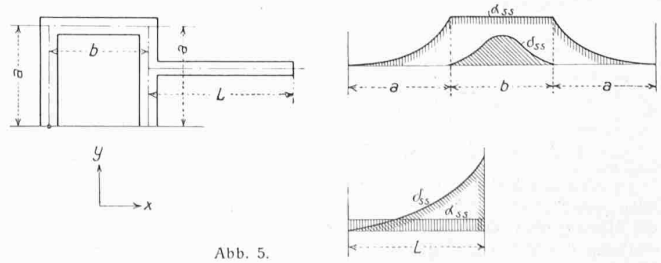

Abb. 5.